

# 都市下水路システムの流出モデルリング

慶應大学工学部  
慶應大学大学院

正員 豊國永次, ○渡辺政広  
学生員 永井康生

都市下水路システムにかける豪雨時の雨水流出は、開水路流れとパイオ流れるが発生し、しかもそれらの領域が時間的、場所的に変動する複雑な現象である。これまで、こうした流出をシミュレートするモデルについて検討を進めているが、本報告では、はじめにこうした流出に対する dynamic wave (D.W.) モデルの適用に際し、重要なモデル・パラメーター ( $\alpha$  値) と流出 hyd $t_0$  との関係について検討し、次にこのような流出モデルの簡略化について、実用性を主に提案された SURKNET モデルを取り上げて検討した結果を述べる。

## 1. モデル・パラメーター ( $\alpha$ 値) と流出 hyd $t_0$ との関係に関する検討

D.W. モデルの概要：上述の雨水流出を詳細にシミュレートするため、開水路流れ、パイオ流れ共 dynamic wave として取扱う。開水路流れの基礎式（水深と流速を变量とする）は(1)式の関係を用いることパイオ流れへも適用でき、これより開水路流れとパイオ流れを統一して取扱うことができる。 $C = \sqrt{gA/B} = \alpha \cdots (1)$  ここに  $C$  は開水路流れの伝播速度、 $\alpha$  はパイオ流れにかかる圧力波の速度、 $A, B$  は流水断面積、水面幅（パイオ流れでは仮想のスロット幅）。

空気混入と伴うパイオ内圧力波の速度；圧力波の速度の値は、円形の鋼管や鉄筋コンクリート管などの管路において一般に 1,000 ~ 1,400 m/sec 程度となるが、空気混入の増加と共に急激に低下する。多數の分合流渠を持つ都市下水路システムでは、空気混入率が数% 程度までとすると、モデル・パラメーター  $\alpha$  の値は凡て數 10 ~ 数 100 m/sec 程度となる。

モデル・パラメーター ( $\alpha$  値) と流出 hyd $t_0$  との関係；上述した  $\alpha$  値の大きさ (10, 50, 100 m/sec) が流出 hyd $t_0$  に及ぼす効果について、システム構成の異なる各下水路システムを対象に数値実験により検討した。まず、実流域の幹線排水区にみられる規模の下水路システム（図 1）について、支線の各マンホールに流入 hyd $t_0$ （図 8）を与えてシミュレーションを行った。サーキュレーション期間に下水路システムにかかる幹線下流端の流量 hyd $t_0$  を図 2 に示す。全般的に流量波形は扁平化し、流出応答の緩慢な流量 hyd $t_0$  となる。 $\alpha$  値が 10, 50, 100 m/sec と増大するにつれ、流出応答は上昇期に僅かに変動する特性が見られ、流量ピークの近くで流量 hyd $t_0$  が僅かに増加する傾向が見られる。しかしそれは僅少なもので、検討した  $\alpha$  値の範囲では実用上差異がないとして取扱えよう。

次に図 3 に示すように、図 1 の下水路システムにかかる支線数を順次減じ、システム構成を変えて検討した。支線数が 5 より 0 本の下水路システムにかかる幹線下流端の流量 hyd $t_0$ 。（サーキュ-

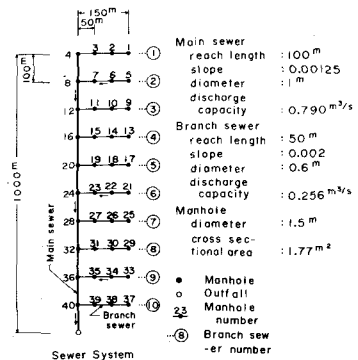


図 1 実流域規模下水路システム(支線数: 10)

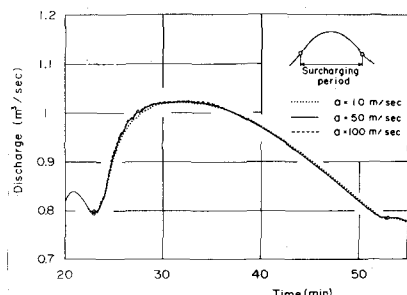


図 2 圧力波の速度と流出 hyd $t_0$  (支線数: 10)

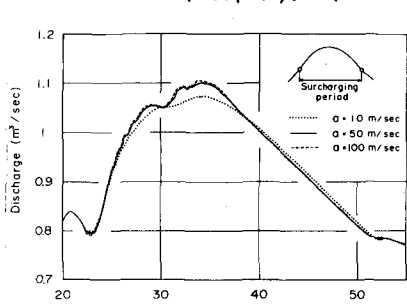
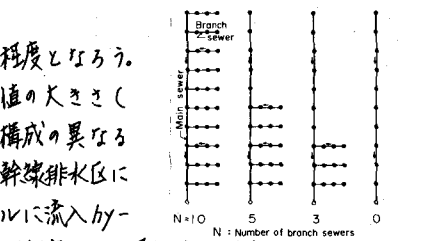


図 4 圧力波の速度と流出 hyd $t_0$  (支線数: 5)

期間)を図4および5に示す。図2, 4, 5より一般に $\alpha$ 値が10, 50, 100 m/secと増大するにつれ、流出波形は鏡映となり、流量ピークは大きく、かつ早くなる傾向が見られる。しかし支線のある下水路システムではそれらは僅少なものとなる。次に $\alpha$ 値が50 m/sec程度以上の結果についてみると、各下水路システムの場合共、流量hydro.が殆んど一定の波形に近づく特性が見られ、特に支流域規模の下水路システム(図1, 2)では、モデル・パラメーターの値を計算に便利な数10 m/sec程度の値にとってよいことが示唆される。

## 2. 流出モデルの簡略化(SURKNETモデル)に関する検討

D.W.モデルの簡略化について、ここでは実用性を主として提案されたYenらのSURKNETモデルを取り上げ、数値実験により検討した。

モデルの構造(図6): 下水路システムの雨水流出を実用的にシミュレートするため、雨水路流れとパイプ流れを組合せて取扱う。雨水路流れに対してはkinematic wave近似を適用し、マンホールとパイプ内各reachに分けて追跡計算を行う。マンホールでは連続式とマニシグライアの流量式と、また各reachでは連続式と等流流れを仮定した貯留方程式をそれぞれ用いる。サーキュレーション状態では雨水路走常流式とマンホールに沿る連続式を組合せ、サーキュレーションした各elementに適用する。ここで下流マンホール水位 $H_d$ は一つ前の時間ステップの値により逆算し得ると仮定する。これにより追跡計算は簡便となり、雨水路流れと同様に上流から下流へ向けて進めることができる。また雨水路流れとパイプ流れの間の遷移については、マンホールあるいは各reachに沿る水深が管径Dに対して次の不等式、 $|H| < 0.91D$ を満たす状態となるとき、雨水路流れ→パイプ流れへの遷移が起こるものとしている。

モデルの検討: 図1の下水路システムと同様に、SURKNETモデルによるシミュレーション結果とD.W.モデルによるそれを比較して検討した。まず、雨水路流れの領域について、流入hydro.と支線の各マンホールに与え、幹線各マンホール地表の流量hydro.(図7)を求めた。支線下水路への背水とこれによる貯留の効果が現われる $t = 20\text{ min}$ と過ぎると、こうした効果の入らないSURKNETモデルによる結果はピークは近く過大に、下降期では過小となる傾向を示す。しかしピーク流量の相対誤差は幹線下流端においても10%程度以内に抑まる。次に、サーキュレーションを伴う流出について、幹線下流端の流量hydro.を図8に示す。サーキュレーション期間についてみると、D.W.モデルでは背水ながらに貯留の効果により、全般的に扁平化した流量hydro.となるが、こうした効果の十分に入らないSURKNETモデルでは流出応答の鏡映な流量hydro.となり、ピーク流量は大きくかつ早く現われる特性が見られる。一方、幹線下水路(図3, 支線数0)のみにD.W.モデルを適用した結果を示すと図8のようだ。SURKNETモデルの結果に近い流出特性が見られる。

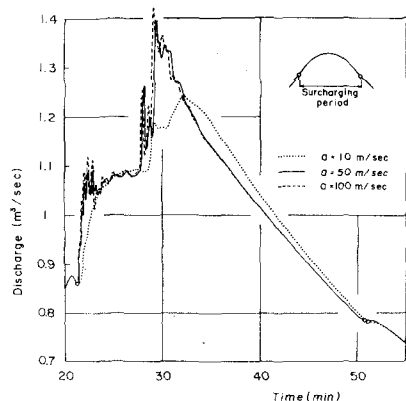


図5 圧力波の速度と流出hydro.(支線数: 0)

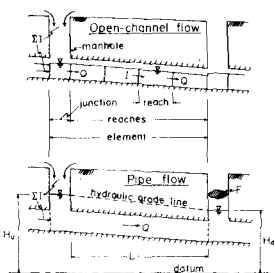


図6 SURKNET モデルの構成

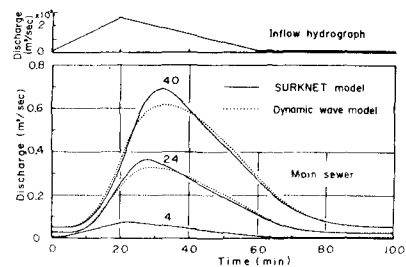


図7 SURKNETモデルの検討(雨水路流れ領域)

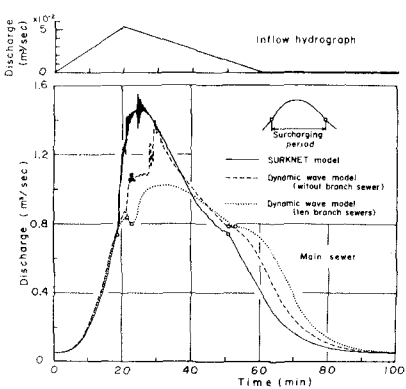


図8 SURKNETモデルの検討(サーキュレーション伴う流出)